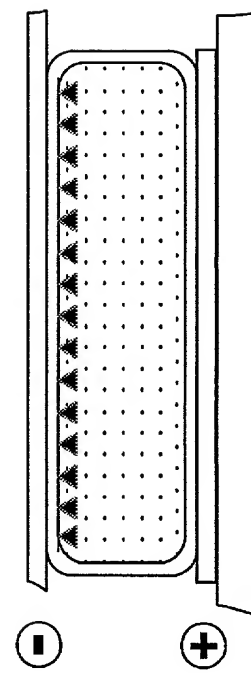


Fig. 1B



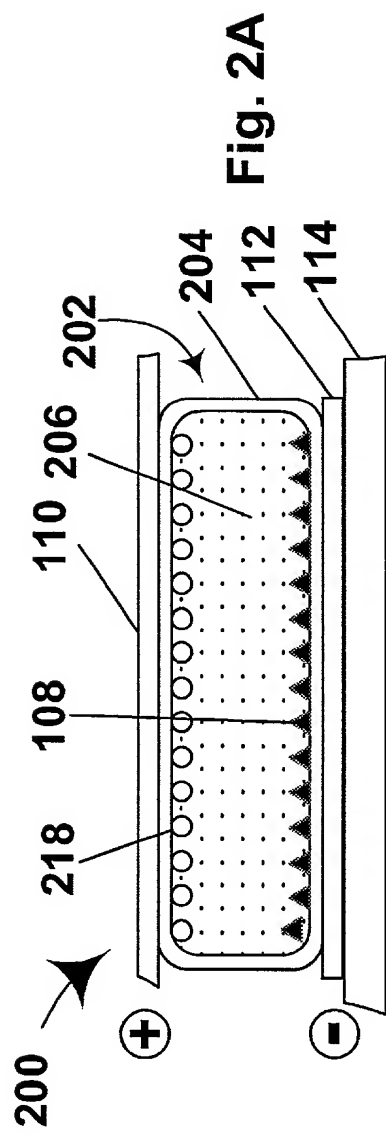
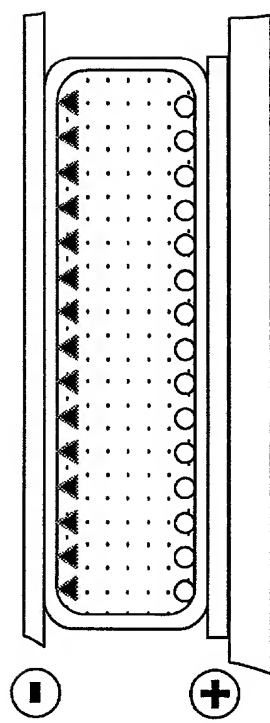


Fig. 2B



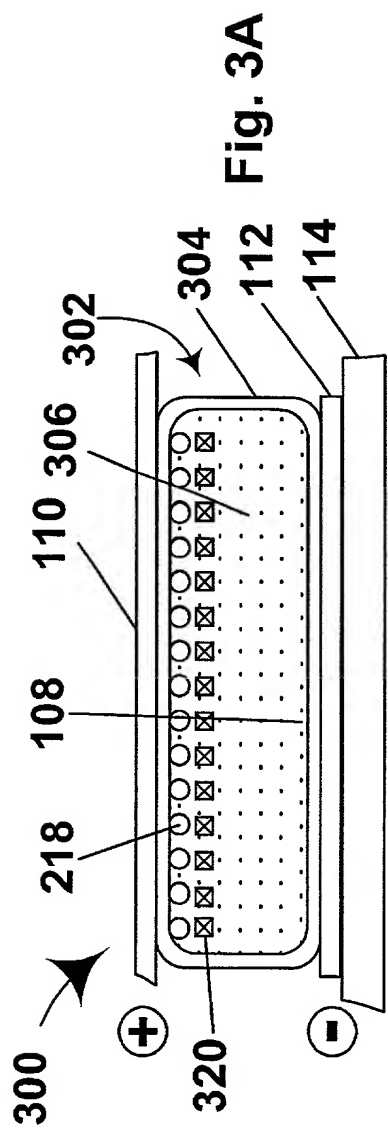
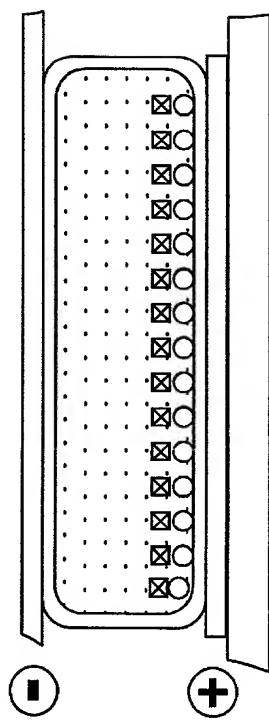


Fig. 3B



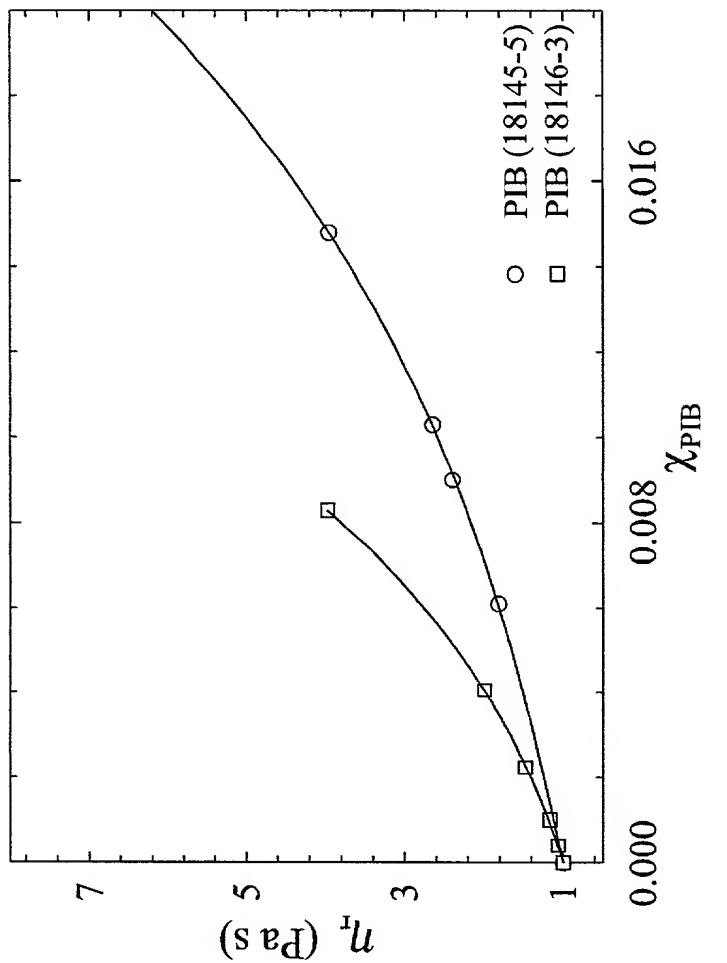


Fig. 4

5/21

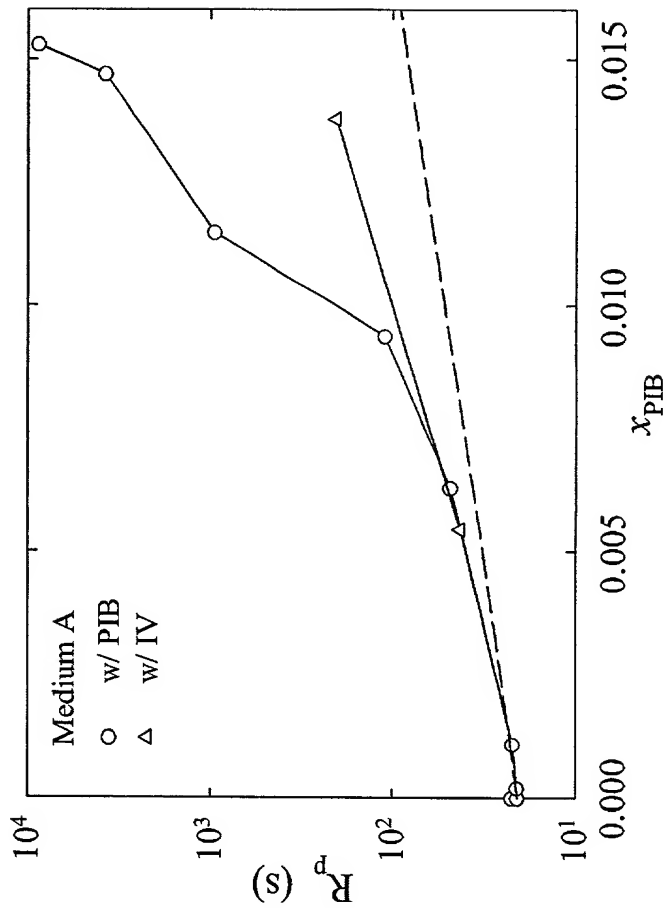


Fig. 5

6/21

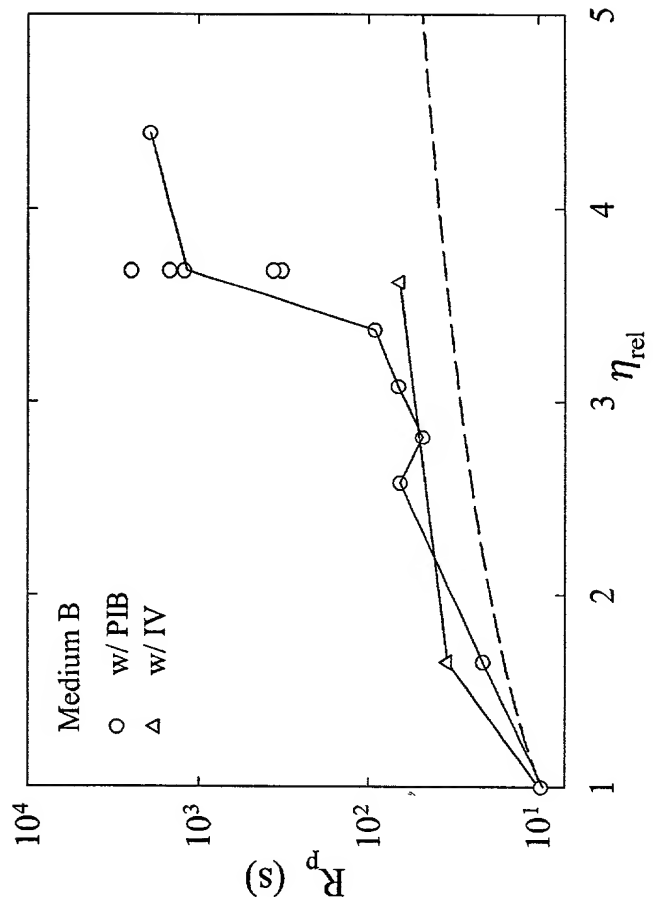


Fig. 6

7/21

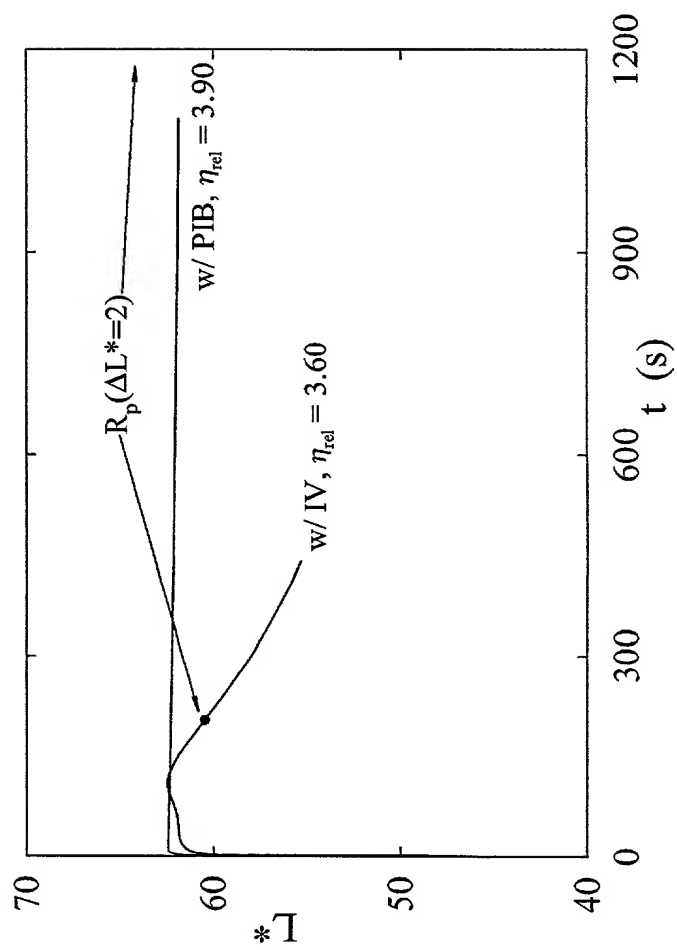


Fig. 7

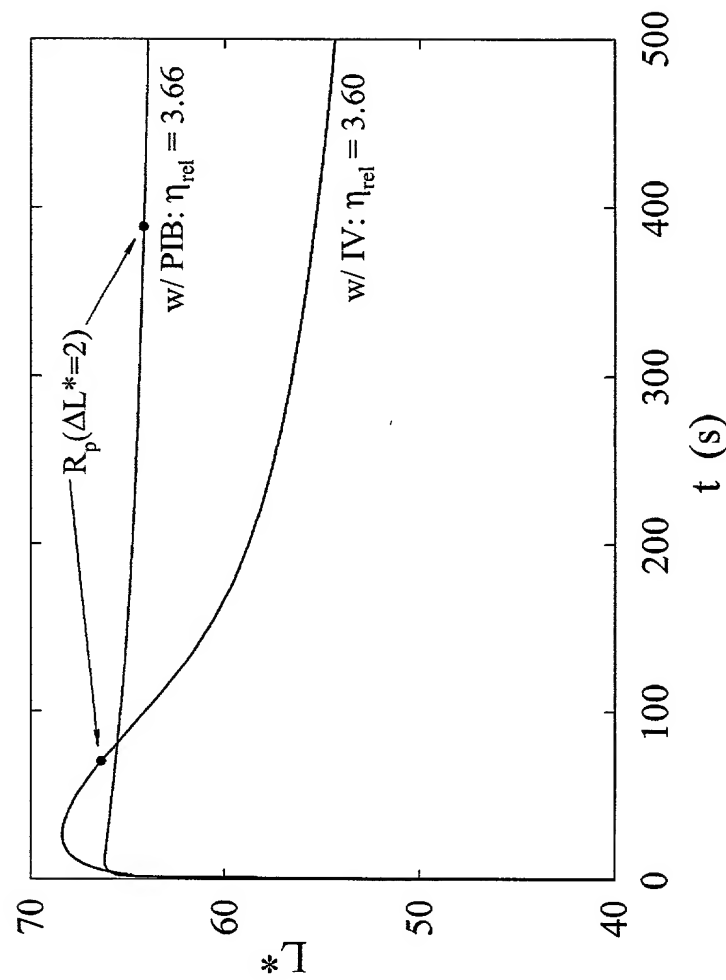


Fig. 8

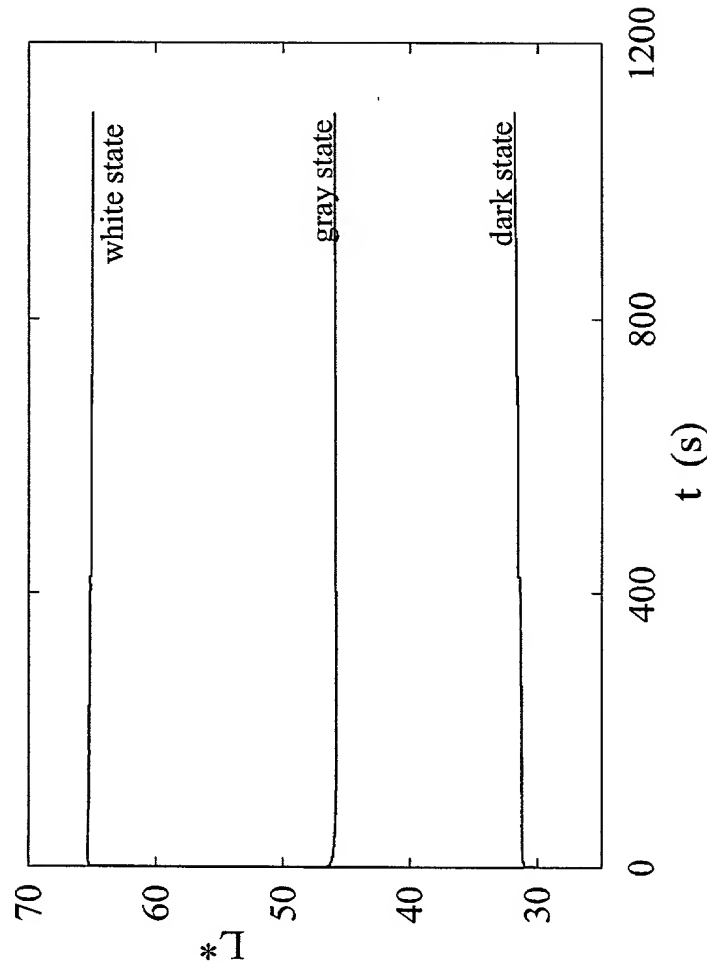


Fig. 9

10/21

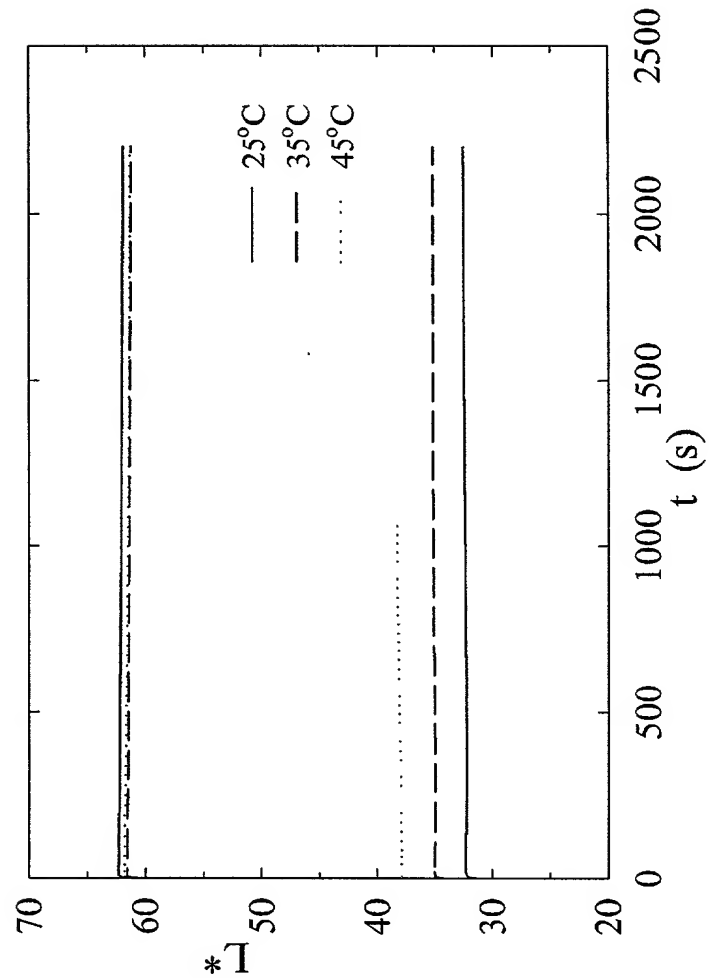


Fig. 10

11/21

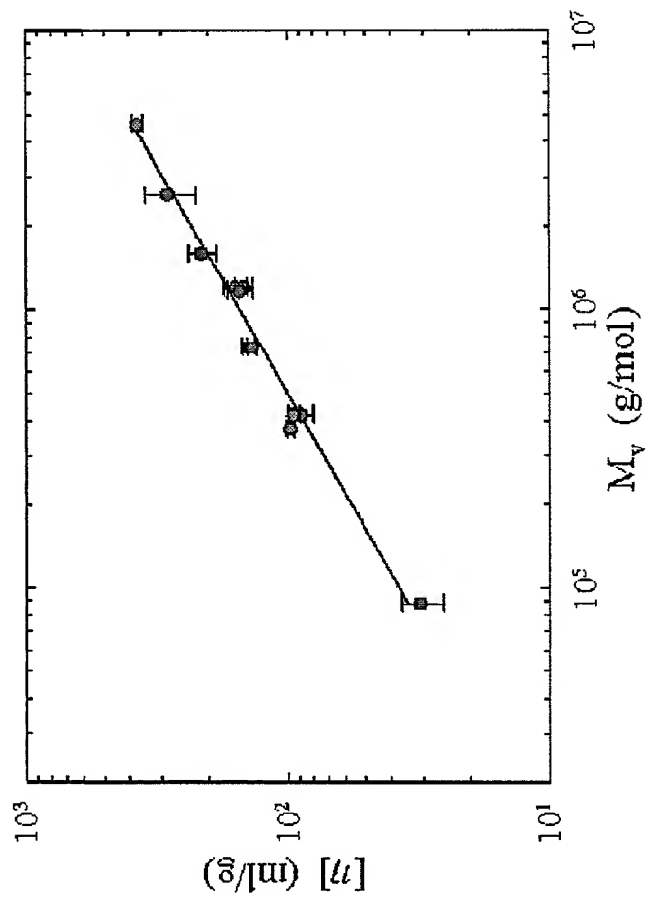


Fig. 11

12/21

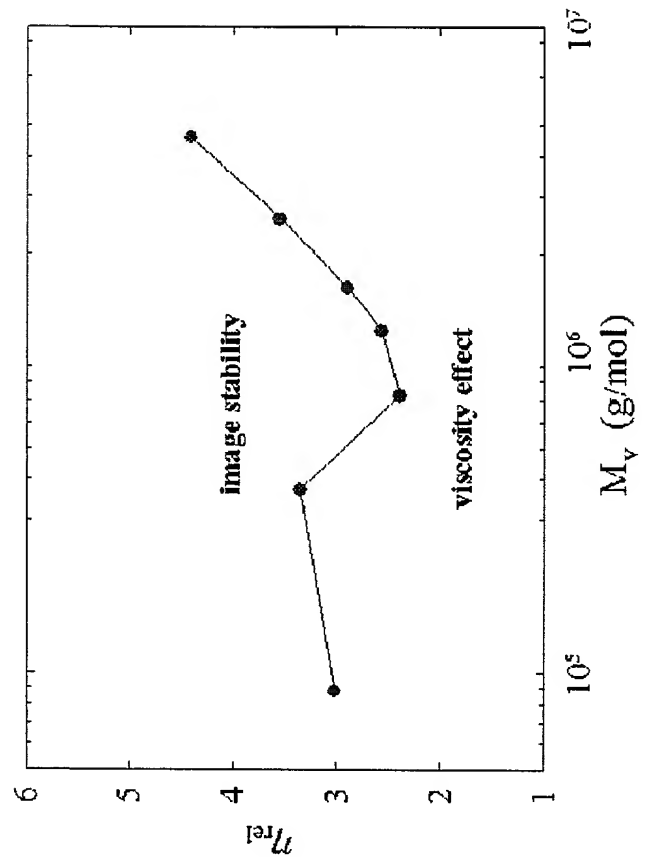


Fig. 12

13/21

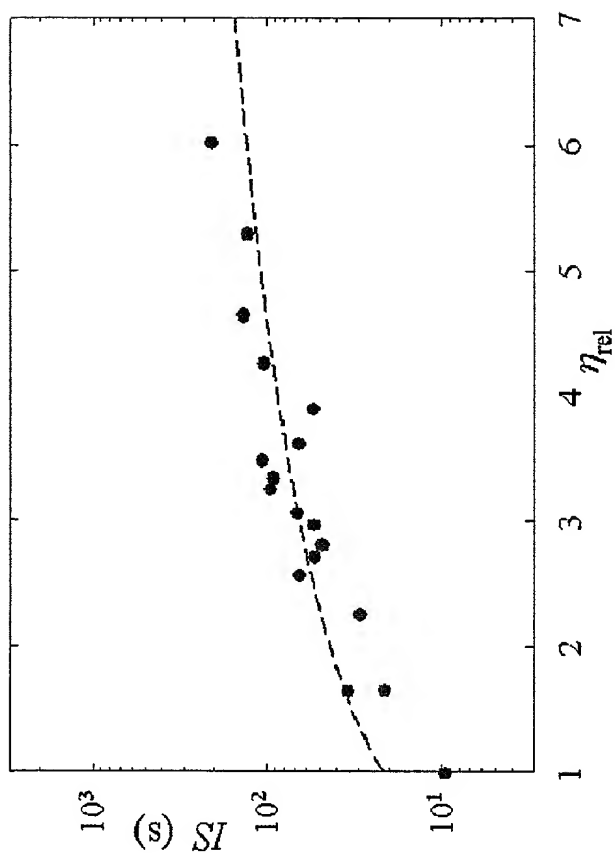


Fig. 13

14/21

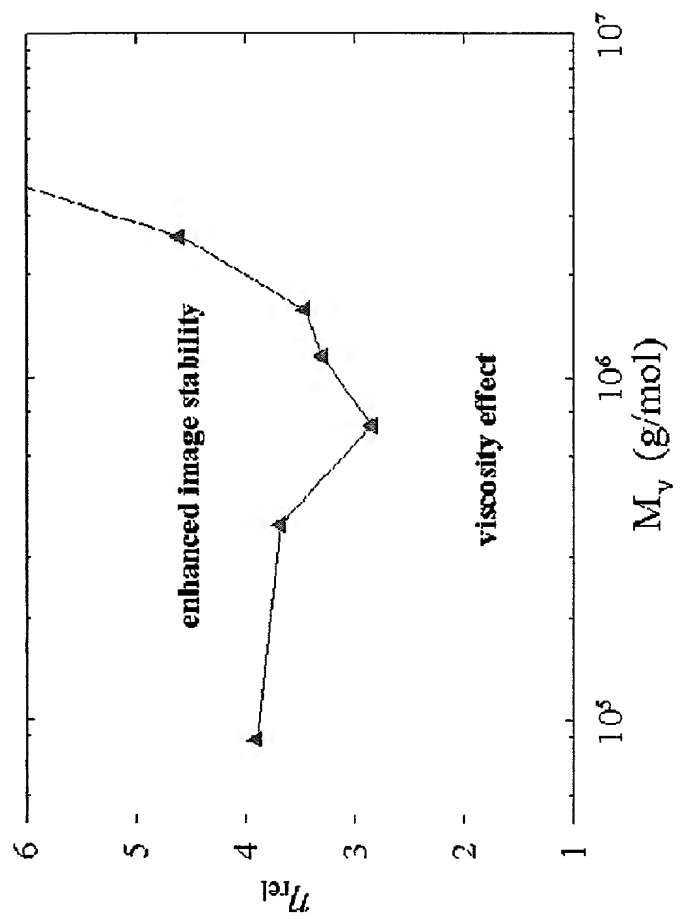


Fig. 14

15/21

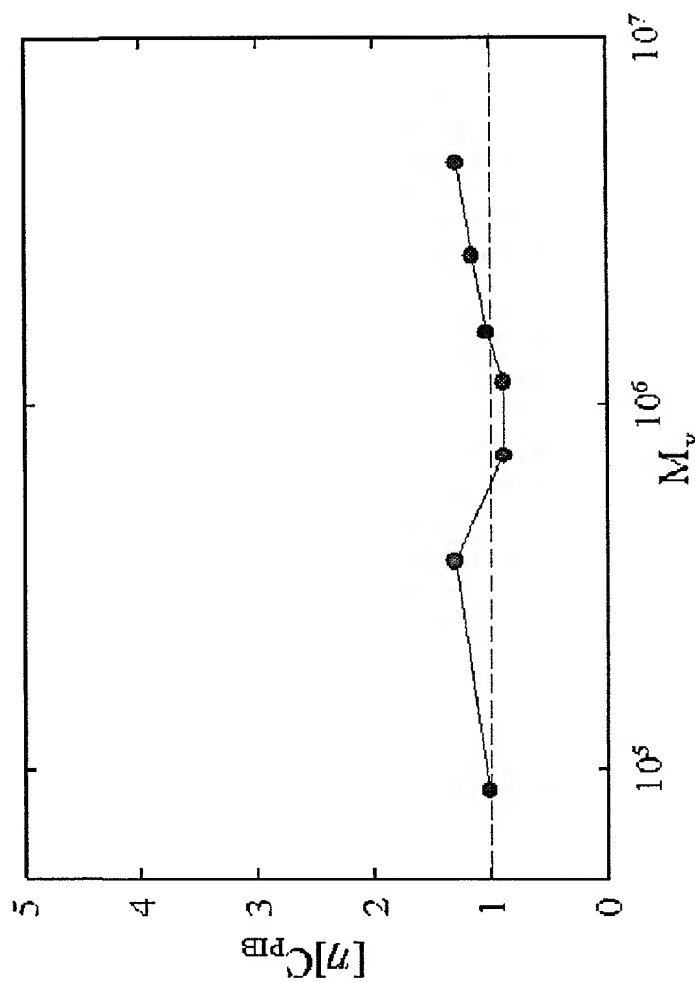


Fig. 15

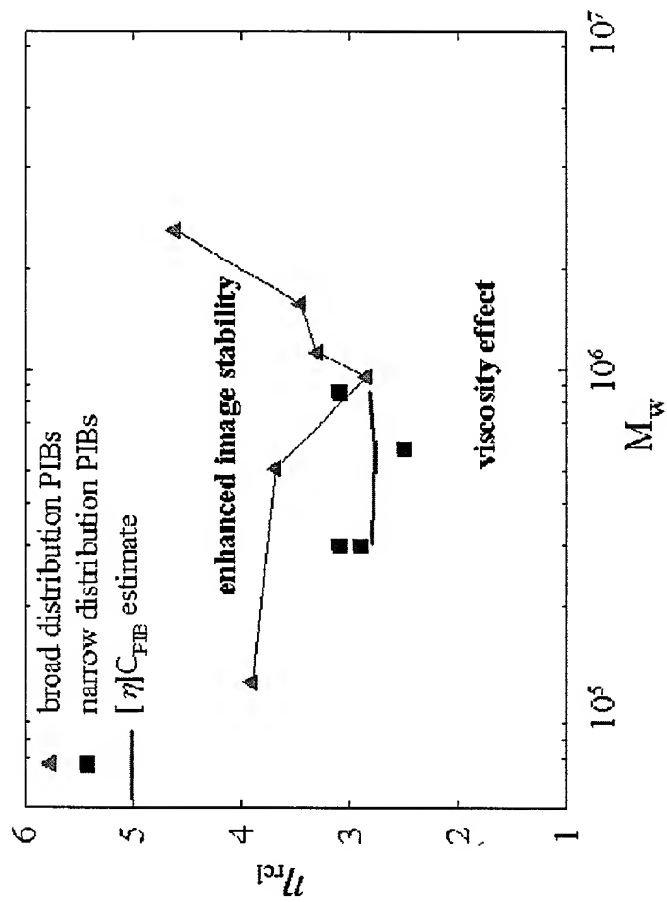


Fig. 16

17/21

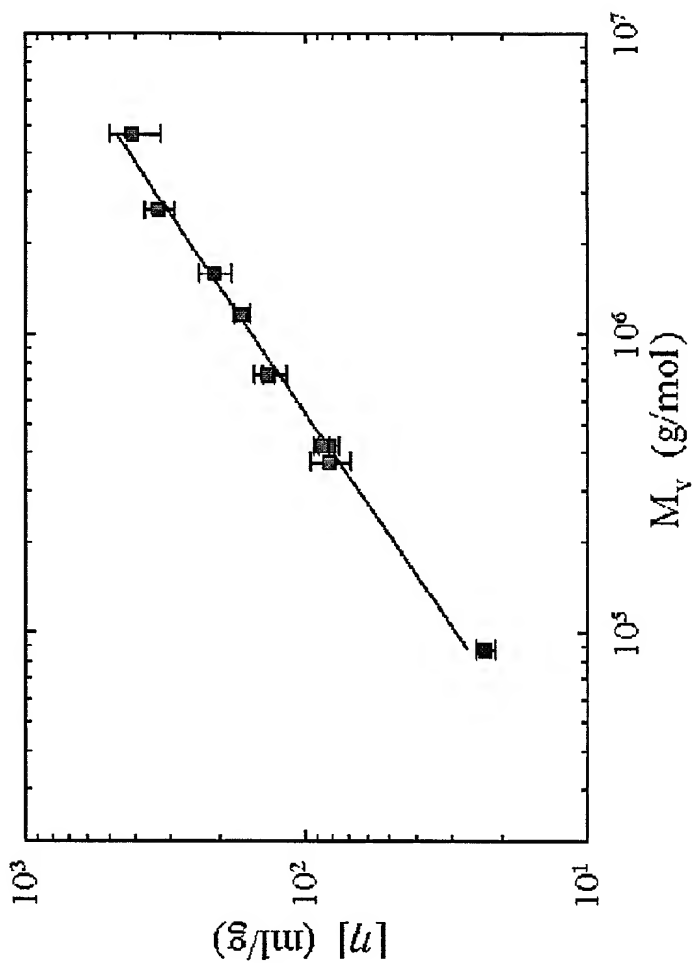


Fig. 17

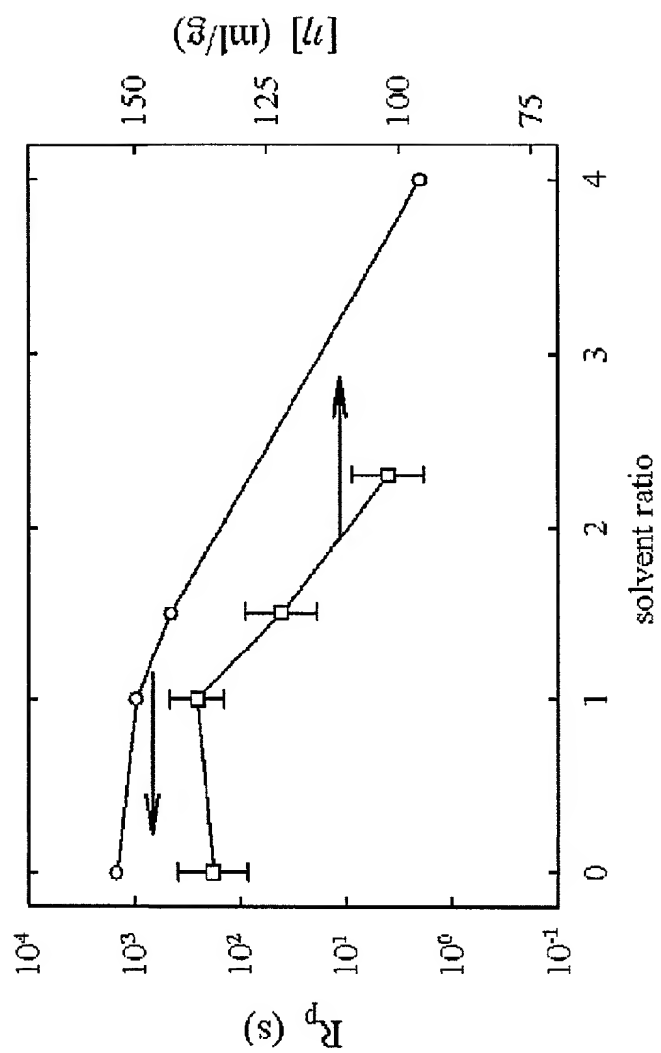


Fig. 18

19/21

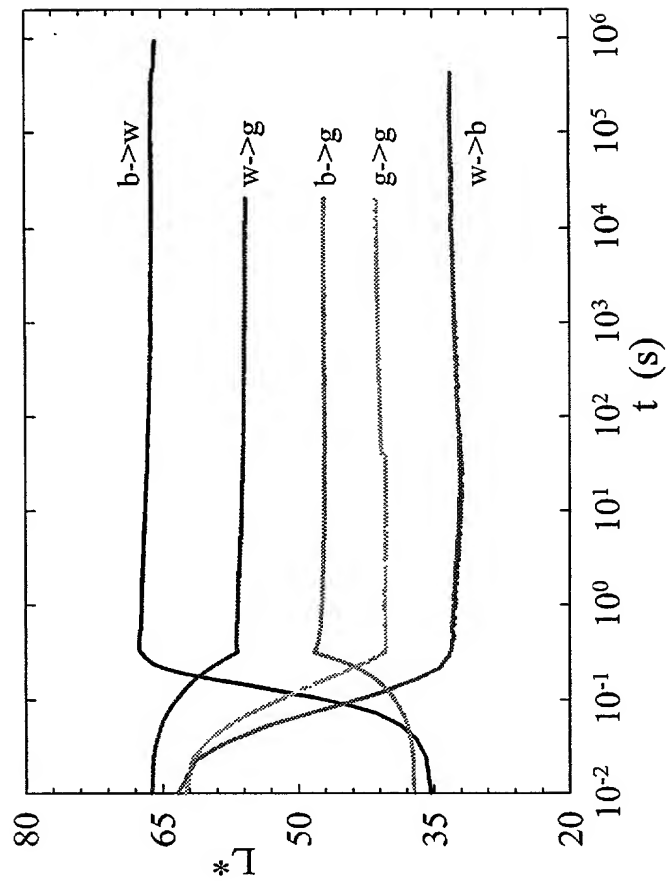


Fig. 19

20/21

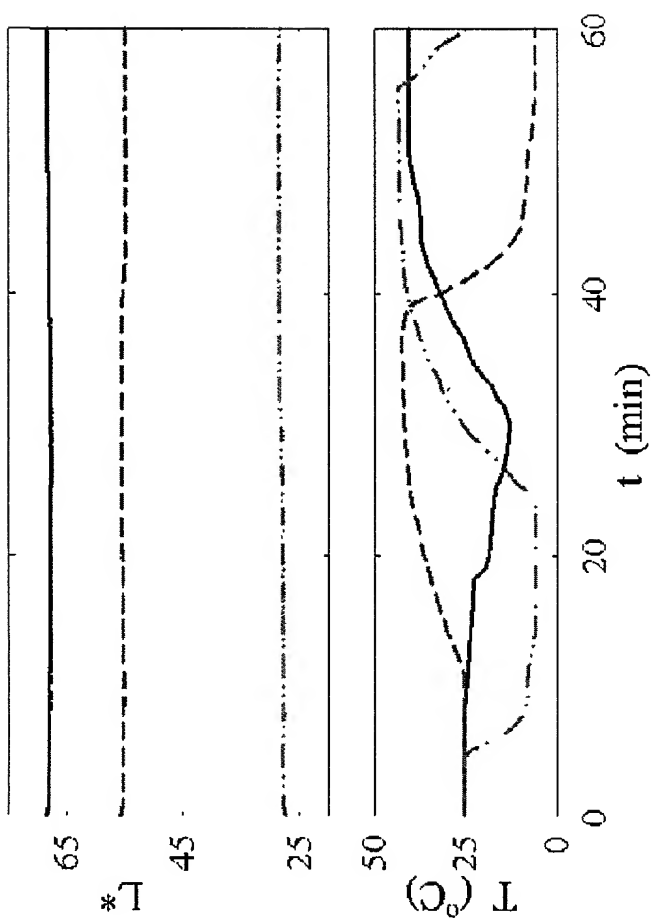


Fig. 20

21/21

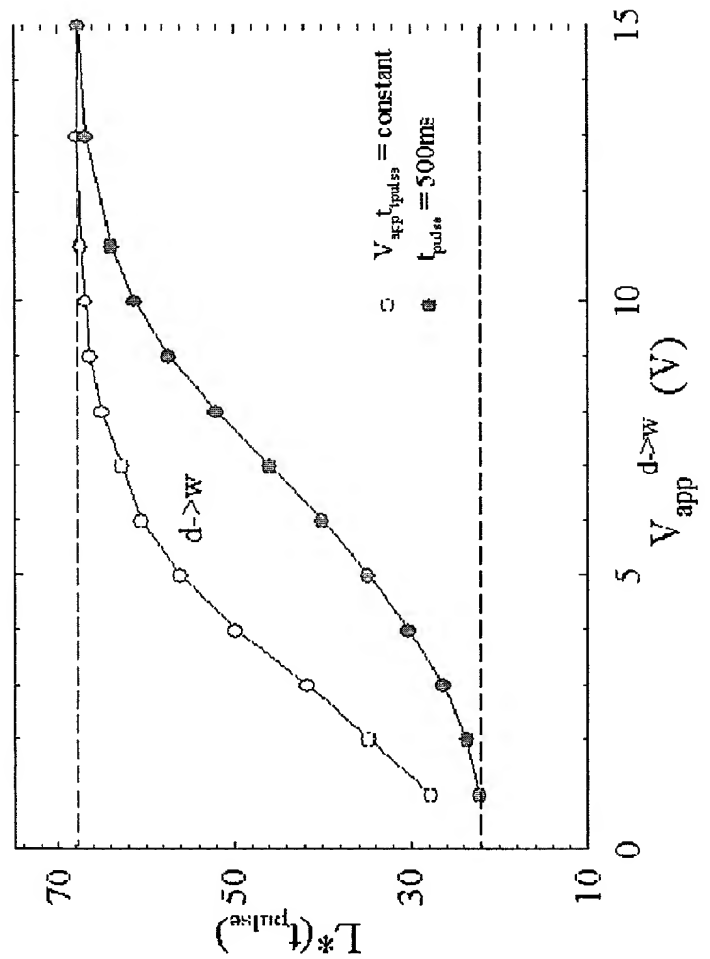


Fig. 21